

تكرار واتجاه تغير سرعة الرياح اليومية القصوى بالساحلين الشرقي والغربي بالمملكة العربية السعودية

Frequency and direction of changing daily maximum wind speed in the east and west coasts of Saudi Arabia

إعداد

**د. مطيرة المطيري
Dr. Mutira Al-Mutairi**

أستاذ الجغرافيا المناخية والبيئية - كلية الآداب - جامعة الأميرة نورة بنت عبد الرحمن

Doi: 10.21608/ajahs.2023.278602

استلام البحث ٢٠٢٢ / ١١ / ١٥

قبول البحث ٢٠٢٢ / ١١ / ٢٨

المطيري ، مطيرة (٢٠٢٣). تكرار واتجاه تغير سرعة الرياح اليومية القصوى بالساحلين الشرقي والغربي بالمملكة العربية السعودية. **المجلة العربية للآداب والدراسات الإنسانية**، المؤسسة العربية للتربية والعلوم والآداب، مصر، مج (٧)، ع(٢٥) يناير، ٣٤٥ – ٣٧٦.

تكرار واتجاه تغير سرعة الرياح اليومية القصوى ... د. مطيره المطيري

تكرار واتجاه تغير سرعة الرياح اليومية القصوى بالساحلين الشرقي والغربي بالمملكة العربية السعودية

المستخلص:

تبحث الدراسة بتحليل الاتجاه العام لسرعة الرياح اليومية القصوى باستخدام البيانات اليومية للفترة من ١٩٧٨ - ٢٠١٧ م بمحطات الدمام وينبع والوجه وللفترة من ١٩٧٨ - ٢٠١٥ م بمحطة جدة. وقد اعتمد تحليل الاتجاه العام لسرعة الرياح اليومية القصوى على عدد من الأساليب الإحصائية. كما استخدمت هذه الدراسة طريقة المتوسطات النصفية لتحليل الاتجاه العام لسرعة الرياح اليومية القصوى ومن نتائج هذه الدراسة أن الرياح الشمالية تتصدر هبوب الرياح في محطة الدمام والرياح الغربية شمالية غربية في محطة الوجه والرياح الغربية في محطة ينبع، والرياح الشمالية في محطة جدة. وبينت الدراسة أن الرياح اليومية التي لا تتعذر سرعاها القصوى ١٠ م/ثانية هي الأكثر حدوثاً بمنطقة الدراسة بتكرار بلغ ١٠٢٧٢ يوم بمحطة الدمام و١٠٠٦٢ يوم بمحطة الوجه و٩٧١٨ يوم بمحطة ينبع و١٣٩٩٨ يوم بمحطة جدة. وأتضح من نتائج مقارنة سرعة الرياح اليومية القصوى بين المحطات أن هناك اختلاف بين معدلات سرعة الرياح بمنطقة الدراسة عدا محطة جده وأن سرعة الرياح اليومية القصوى ذات اتجاه متناقض بكل المحطات عدا محطة ينبع. وجميع الاتجاهات ذات قيم انحدار بسيطة تراوحت قيمها بين ٠٠٨٧ - ٠٤٠ . بمحطة الوجه و بمحطة ينبع.

الكلمات المفتاحية: سرعة الرياح اليومية القصوى، السرعة اليومية القصوى للرياح، اتجاه التغير العام، الفحص الإحصائي، المقارنة المتعددة، المملكة العربية السعودية.

Abstract:

The study examines analyzing the general direction of maximum daily wind speed using daily data for the period from 1978 to 2017 in the Dammam, Yanbu and Wajh stations and for the period from 1978 to 2015 in the Jeddah station. Analysis of the general trend of the maximum daily wind speed was based on a number of statistical methods. This study also used the half-averages method to analyze the general direction of the maximum daily wind speed, and the results of this study are that the northern winds top the gusts of wind in Dammam station and the northwest winds in the Al Wajh station and the western winds in Yanbu station, and the northern winds in Jeddah station. The study showed that the daily winds whose maximum speed does not exceed 10 m / s is the most occurring in the study area.

with a frequency of 10272 days in Dammam station, 10062 days in Al-Wajh station, 9718 days in Yanbu station and 13998 days in Jeddah station. It was clear from the results of comparing the maximum daily wind speed between stations that there is a difference between the rates of wind speed in the study area except for Jeddah station and that the maximum daily wind speed is decreasing in all stations except for Yanbu station. All directions have simple regression values ranging from 0.087 in Al Wajh Station to 0.041 in Yanbu Station.

Key-Words : Maximum daily of wind speed, Maximum wind speed, General trend, Staistical test, Multiple comparisons, Saudi Arabia.

مقدمة

تعتبر تغيرات سرعة الرياح القصوى من أهم مؤشرات التغير المناخي لأنها تصاحب عادة العواصف المطرية والعواصف الترابية والرملية. ولا تقل تأثيرات الرياح أهمية عن تأثيرات العناصر المناخية الأخرى في ظاهرة التغير المناخي على سطح الأرض.

ويرتبط نشوء الرياح وحركتها وسرعتها واتجاهها بالكتل الموزعة بين اليابس والمسطحات المائية. ونظراً لامتداد أراضي المملكة العربية السعودية بين أكثر من 15° عرضية بين دائرتى العرض $17^{\circ}34'$ و $32^{\circ}00'$ شمالاً فإن أراضيها تتاثر بالكتل الهوائية التالية:

أ-الكتلة الهوائية المدارية البحرية الموسمية القادمة من المحيطات الاستوائية.

ب-الكتلتين الهوائيتين المدارية القارية القادمة من آسيا وإفريقيا.

ج-الكتلة الهوائية القطبية البحرية القادمة من شمال المحيط الأطلسي.

د-الكتلة الهوائية القطبية البحرية القادمة من شمال آسيا وأوروبا.

وتتناوب تأثيرات هذه الكتل الهوائية على أراضي المملكة خلال فصلي الصيف والشتاء. ففي فصل الصيف تسيطر على أراضي المملكة الكتل الهوائية المدارية القارية الجافة التي تتميز بهبوب رياح جافة قادمة من أواسط آسيا. وفي بداية الفصل الخريف تبدأ بعض التيارات الهوائية الرطبة تحل محل الكتل الهوائية المدارية القارية الجافة مما يؤدي إلى هبوب رياح رطبة قادمة من المحيط الأطلسي ومن البحر المتوسط. أما في فصل الشتاء تسيطر على المملكة كتلة هوائية قارية جافة باردة قادمة من أواسط آسيا ومن هضبة إيران. وب مجرد جاف هذه الكتل الهوائية تتقدم كتلة هوائية ثانية قادمة من المحيط الأطلسي وأوروبا نحو أراضي المملكة

تكرار واتجاه تغير سرعة الرياح اليومية القصوى ... د. مطيره المطيري

بإتجاه الجنوب والجنوب الشرقي عبر البحر المتوسط. وخلال فصل الربيع يزداد تدريجياً الإشعاع الشمسي بسبب تقدم المنخفض الجوي الآسيوي والإفريقي نحو أراضي المملكة. وتتسبب هذه الظروف الجوية في تقدم كتلة هوائية بحرية رطبة قادمة من البحر المتوسط مما يؤدي إلى تقابل كتلة هوائية مدارية جنوبية وكتلة هوائية شمالية فوق الربع الخالي مما يؤدي إلى هبوب رياح السوم الحارة والجافة المحملة بالأتربة والرمال. وعليه فإن أراضي المملكة تقع تحت تأثير منظمتين من الضغط الجوي هما منظومة الضغط الجوي المرتفع التي يسيطر عليها الضغط الجوي المرتفع السيبيري والضغط الجوي المرتفع الأوروبي والضغط الجوي المرتفع شبه المداري ومنظومة الضغط الجوي المنخفض التي يسيطر عليها المنخفض الجوي الهندي الموسمي والمنخفض الجوي السوداني والمنخفض الجوي المتوسطي(زيتون وشحادة، ٢٠١٥: ١٤٦٧).

وتكمّن أهمية دراسة سرعة الرياح القصوى في كونها تتحكم في حدوث كثير من عناصر الطقس مثل الأعاصير والغيوم والأمطار والثلوج وتنغيرات درجات الحرارة لأن الرياح تقوم بنقل الحرارة والرطوبة على سطح الأرض من مناطق الضغط الجوي المرتفع إلى مناطق الضغط الجوي المنخفض. ومن المتوقع أن يطال التغيير المناخي خلال القرن الحالي معظم عناصر المناخ بما فيها الرياح في منطقة الجزيرة العربية (زيتون وشحادة، ٢٠١٥: ١٤٦٧).

ولقد ورد في القرآن الكريم التفريق بين لفظ "الريح" مفردة ولفظ "الرياح" مجموعة، بحيث تم ذكر لفظ "الرياح" عشر مرات مقتربة بالرحمة مثل مبشرات ومرسلات وذاريات، بينما تم ذكر "الريح" أربع عشرة مرة مقتربة بالعذاب مثل عاصف وقادف وعقيم وصرصر (البناء وعبد الله، ٢٠١٢: ١٧٩).

والمملكة العربية السعودية سواحل طويلة الساحل الغربي على طول البحر الأحمر يمتد بحوالي ١٨٠٠ كم يبلغ طوله حوالي ٦٧٧,٣٪ من إجمالي سواحل المملكة التي تقدر بنحو ٢٢٣٠ كم، والساحل الشرقي يبلغ طوله أكثر من ١٢٠٠ كيلو متر. ويختلف اتساعه من مكان إلى آخر، حيث يتراوح بين ٦٠ كيلومتر في شمال الخفجي، إلى ١٣٠ كيلو متر غرب مدينة الدمام. (الرويسي، ١٩٨٢). وتمتاز سواحل المملكة الشرقية والغربية بتتنوع جغرافي طبيعي ومناخي مما يجعل الكثير من مناطقها واحدة عمرانياً واقتصادياً وسيحياً. وما لا شك فيه أن للمناخ السائد في السواحل الشرقية والغربية تأثيراً هاماً و مباشر وغير مباشر في النشاط الاقتصادي ، ولكن يظل للرياح تأثير في حالات الطقس والمناخ للمدن الساحلية الهامة عليها.

- أهمية الدراسة:

تتجلى أهمية هذه الدراسة في كونها دراسة مناخية مقارنة تتناول سمات الرياح السطحية السائدة بالساحلين الشرقي والغربي بالمملكة العربية السعودية، لعدة مدن متباعدة جغرافياً وبعيداً ومناخياً، ولنتائج الدراسة أهمية في إمكانية الاستفادة من نتائجها

في الخطط المستقبلية لخطيط وتطوير المناطق الساحلية سواء الساحل الشرقي والغربي بالمملكة العربية السعودية، وكما تعد الدراسة أضافة جغرافية للدراسات المناخية بالمملكة العربية السعودية.

ولدراسة الرياح بالساحلين الشرقي والغربي بالمملكة العربية السعودية خصوصية متميزة لأنها تهب على مناطق جعلها موقعها الجغرافي في تماس مباشر مع اليابسة والبحر مما يجعل سماتها متباعدة سواء في السرعة والاتجاه ، وبالتالي تكون متباعدة في تأثيراتها المناخية والبيئية. كما ان للرياح الساحلية قدرة كامنة يمكن الاستفادة منها في توليد الطاقة الكهربائية من قوة الرياح. وتقدم هذه الدراسة أمكانية الاستفادة من طاقة الرياح في انتاج الطاقة الكهربائية كبديل يمكن أن يكون أحد مصادر الطاقة المتعددة بالمملكة العربية السعودية يساعد في تقليل الاعتماد على مصادر الطاقة الأحفورية (النفطية) المستخدمة في انتاج الطاقة الكهربائية .

- أهداف الدراسة:

تسعى الدراسة إلى تحقيق الأهداف التالية:

١. دراسة تكرار اتجاهات سرعة الرياح اليومية القصوى في منطقة الدراسة.
 ٢. دراسة تكرار اتجاهات الرياح الفصلية في منطقة الدراسة وتحديد الرياح السائدة في منطقة الدراسة.
 ٣. تحديد ومقارنة سرعة الرياح الشهرية والفصلية والسنوية في منطقة الدراسة.
 ٤. مقارنة خصائص الرياح في منطقة الدراسة.
 ٥. تحليل الاتجاه العام لتغير السرعة القصوى اليومية للرياح في منطقة الدراسة.
- منطقة الدراسة:

تشمل السواحل الشرقية والغربية بالمملكة العربية السعودية ، تتحضر الغربية على ساحل البحر الأحمر غرب المملكة (الوجه - جهة- ينبع) تمتد بين دائرتين عرض ١٢° شماليًّا ودرجة ١٦°٥٤ جنوبًا وبين خطى الطول ٢٨° ٣٦ درجة و ٤٢° ٣٥ ، ساحل البحر الأحمر يحده شرقاً الهضاب والمرتفعات الغربية (الحجاز وعسير)، يضيق السهل الساحلي في الشمال ويتبعد في الجنوب بحسب قرب وابعد المرتفعات الجبلية من خط الساحل، ويقع ساحل البحر الأحمر ضمن منطقة الدرع العربي ويتميز بالاستقامة والعديد من الرؤوس والخلجان ، كما تحف بها الشعاب والارصفة المرجانية، بينما تتحضر الشرقية على ساحل الخليج العربي(الدمام) وهو محصور في معظمها بين هضبة الصمان غرباً والخليج العربي شرقاً جدول شكل(١).

تكرار واتجاه تغير سرعة الرياح اليومية القصوى ... د. مطير المطيري

الجدول (١) بيانات محطات الأرصاد المناخية بمنطقة الدراسة

| رقم المحطة | المحطة | دائرة العرض (شمالاً) | خط الطول (شرقاً) | الارتفاع (متر) |
|------------|--------|----------------------|------------------|----------------|
| 40400 | الوجه | 26°12'19" | 36°28'37" | 23.7 |
| 41024 | جدة | 21°42'37" | 39°11'12" | 16.9 |
| 40439 | ينبع | 24°08'24" | 38°03'50" | 10.4 |
| 40417 | الدمام | 49°49'00" | 26°27'00" | 12.0 |

المصدر: الرئاسة العامة للأرصاد وحماية البيئة المركز الوطني للأرصاد والبيئة،
وزارة الدفاع والطيران



شكل (١)

- دراسات سابقة

- دراسة إبراهيم (٢٠٠٨) بعنوان "دراسة بعض خصائص الرياح والأمواج البحرية على شاطيء مدينة طرطوس (سورية)", تناول فيها تحديد اتجاهات الرياح وسرعتها وتحليل العلاقة المتبادلة بين سرعة الرياح وارتفاع أمواج البحر. ولقد

توصلت نتائج هذه الدراسة سيطرة الرياح الشمالية بسرعة تتراوح بين ١ و ٤ م/ثانية بنسبة حدوث بلغت ٥٩.٨٪ مع ندرة الرياح القوية التي تزيد سرعتها عن ١٠ م/ثانية التي لا تتعدي نسبة حدوثها ١.٣٪.

دراسة البناء عبد الله (٢٠١٢) بعنوان "دراسة عن الرياح في القرآن الكريم وسبل تخفيف آثارها" إلى توضيح المفاهيم المتعلقة بالفاظ "الريح" و"الرياح" التي ورد ذكرها في القرآن الكريم مع شرح مفصل لأنواع الرياح مدعوماً بالنص القرآني. كما تطرقت الدراسة إلى الجانب الروحي في تخفيف آثار العواصف الترابية على الإنسان.

دراسة النوري والساكنى (٢٠١٤) بعنوان "امكانية سرعة الرياح في العراق ودورها في إنتاج الطاقة الكهربائية: دراسة في جغرافية الطاقة" أوضح من خلال تحليل البيانات المناخية المتعلقة بسرعة واتجاه الرياح خلال الفترة ١٩٨٠-٢٠١٣ بمحطات الدراسة أهمية طاقة الرياح وكيفية استغلالها مع إبراز مميزاتها والعوامل المؤثرة فيها. وتوصلت نتائج الدراسة أن محطات الناصرية والبصرة هي أكثر المناطق قدرة على توليد الطاقة الكهربائية وأن فصلي الربيع والصيف هما أكثر الفصول ملائمة لإنتاج الطاقة الكهربائية.

ودراسة عبد (٢٠١١) بعنوان "تكرارات الرياح وعلاقتها بالغطاء الغيمي في العراق"، تناول فيه تحليل تكرار هبوب الرياح باتجاهاتها الثمانية الرئيسية وعلاقتها بسيطرة الغيوم العالية (HC) والمتوسطة (MC) والمنخفضة (LC) خلال ستة مواسم للتغيير تم رصدها بمحطات الموصل وكركوك (المنطقة الشمالية) وبغداد والرطبة (المنطقة الوسطى) والناصرية والبصرة (المنطقة الجنوبية) خلال الفترة من ١٩٩١-١٩٩٦ إلى ١٩٩٦-١٩٩٧. وقد أظهرت نتائج هذه الدراسة سيطرة هبوب الرياح الشمالية بجميع المناطق وسيطرة الغيوم المنخفضة بالمنطقة الشمالية والغيوم المتوسطة والمنخفضة بالمنطقة الجنوبية والغيوم المتوسطة بالمنطقة الوسطى.

- كما نشرت الهيئة العامة للاحصاء بالمملكة العربية السعودية تقريراً بعنوان "مؤشرات للطاقة المتتجدة في المملكة العربية السعودية" تم فيه استعراض المتوسط السنوي لسرعة الرياح خلال عام ٢٠١٦ بعشرة مواقع تراوحت فيها معدلات سرعة الرياح عند ارتفاع ١٠٠ م بين ٥.٥ م/ثانية بجنوب ينبع و ٨.٧ م/ثانية بشمالها.

- وتناول Young (٢٠١١) بحث بعنوان "Global Trends in Wind Speed and Wave Height" تحليل اتجاه سرعة الرياح على مستوى سطح الكرة الأرضية باستخدام قاعدة بيانات لفترة ٢٣ سنة. وقد أظهرت نتائج الدراسة زيادة في سرعة الرياح المتطرفة خلال الفترة المدروسة مقارنة بالمتوسط.

- كما تقدم Azorin-Molina (٢٠١٨) ببحث بعنوان: "Recent trends in wind speed across Saudi Arabia, 1978–2013: a break in the stilling"

تكرار واتجاه تغير سرعة الرياح اليومية القصوى ... د. مطير المطيري

تم تحليل الاتجاهات الحديثة وتغير سرعة الرياح القريبة السطحية للفترة ١٩٧٨-٢٠١٣ في ١٩ محطة بالمملكة العربية السعودية. وقد اظهرت النتائج انخفاضاً كبيراً في سرعة الرياح بالمناطق الساحلية والداخلية والجبلية ذا دلالة احصائية مع هيمنة الاتجاهات السلبية ذات الأهمية الاحصائية على سرعة الرياح بمعظم اراضي المملكة.

- دراسة نشرها (٢٠١٧م) بعنوان: Torralba "Uncertainty in recent near-surface wind speed trends: a global reanalysis inter comparison"

اعتمدت على تحليل اتجاهات سرعة الرياح للفترة ١٩٨٠-٢٠١٥ وباثر رجعي لفترات سابقة باستخدام بحوث وتطبيقات (ERA1-MERRA2) و (ERA-55) (JRA). ولقد تبين أن هناك تبايناً مكانيّاً وموسمياً قوياً في سرعة الرياح مع زيادة إجمالية في سرعتها فوق المحيط وانخفاضها على اليابسة خاصة في سرعة الرياح القريبة من سطح الأرض. وقد كشفت كذلك نتائج هذه الدراسة عن وجود تغير سريع في سرعة الرياح العالية مقارنة بسرعة الرياح المنخفضة والمتوسطة.

- ونشر Pryor وأخرون (٢٠٠٩م) دراسة بعنوان:

"Wind speed trends over the contiguous United States" تناولت مقارنة شاملة لاتجاهات سرعة الرياح التاريخية على الولايات المتحدة المجاورة استناداً إلى مجموعتين من بيانات الرصد، وأربع مجموعات بيانات لتحليل الطاقة، ونموذجين مناخيين إقليميين. ولقد تبين من هذه الدراسة أن هناك اختلافات كبيرة في الاتجاهات الزمنية المستمدّة من بيانات سرعة الرياح المرصودة مع هيمنة الاتجاه المتناقض لسرعة الرياح. ويتوافق هذا الاتجاه مع مخرجات عمليات المحاكاة التي أجريت باستخدام MM5 و NCEP-2. ومع ذلك، توجد اتجاهات معاكسة في مخرجات التحليل الإقليمي لأمريكا الشمالية، وعمليات إعادة التحليل العالمية الأخرى كشفها أسلوباً التحليل (NCEP-1 و ERA-40).

- منهجة البحث وأساليبه

تلخصت منهجة الدراسة في ثلاثة خطوات عملية متسلسلة هي:

١- جمع البيانات لسرعة الرياح اليومية القصوى خلال الفترة ١٩٧٨-٢٠١٧م بمحطات ينبع والوجه الدمام وخلال الفترة ١٩٧٨-٢٠١٥م بمحطة جدة من الرئاسة العامة للأرصاد وحماية البيئة.

٢- حساب البيانات وتبويتها وحساب متوسطاتها الحسابية وانحرافاتها المعيارية وفئات تكرارها.

٣- فحص توزيع قيم سرعة الرياح اليومية القصوى بتطبيق ثلاثة فحوص احصائية من برنامج SPSS23 هي:

(أ) فحص التوزيع الطبيعي Test of Normality باستخدام أدوات التحليل Analyze.

(ب) فحص تجانس سرعة الرياح اليومية القصوى بتطبيق فحص التجانس Test of Homogeneity باستخدام أدوات تحليل التباين الأحادي One-Way ANOVA.

(ج) فحص تباين سرعة الرياح اليومية القصوى بتطبيق اختبار ANOVA في أدوات تحليل التباين الأحادي One-Way ANOVA.

٤- مقارنة معدلات سرعة الرياح اليومية القصوى في المحطات المدروسة بتطبيق اختبار Post Hoc من أدوات المقارنات المتعددة Multiple comparisons.

LSD المتوفرة ضمن أدوات تحليل التباين الأحادي.

كما استخدمت هذه الدراسة طريقة المتوسطات النصفية في تحليل اتجاه التغير لسرعة الرياح اليومية القصوى مع اخضاع نتائجها لفحص "t student" بتطبيق الخطوات العملية التالية:

١- تقسيم كل سلسلة زمنية لسرعة الرياح اليومية القصوى في كل محطة إلى فترتين متساويتين (الفترة الأولى من ١٩٧٨ إلى ١٩٩٧ والفترة الثانية من ١٩٩٨ إلى ٢٠١٧ م بمحطات بنبع والوجه والدمام) و (الفترة الأولى من ١٩٧٨ إلى ١٩٩٦ وال فترة الثانية من ١٩٩٧ إلى ٢٠١٥ م بمحطة جدة).

٢- حساب معامل ميلان خط الاتجاه العام للسلسلة الزمنية (b) بتطبيق المعادلة الآتية:

$$b = \frac{X'_2 - X'_1}{T_2 - T_1}$$

بحيث يمثل:

X'_1 : متوسط أمطار الفترة الأولى.

X'_2 : متوسط أمطار الفترة الثانية.

T_1 : الزمن المقابل للفترة الأولى (منتصف الفترة).

T_2 : الزمن المقابل للفترة الثانية (منتصف الفترة).

٣- إخضاع المتوسط النصفي لكل فترة لفحص الخطأ المعياري للفرق الإحصائي بين المتوسطين بتطبيق المعادلة الآتية:

$$S.E|X'_1 - X'_2| = \left[\frac{\sigma_1^2}{n_1} + \frac{\sigma_2^2}{n_2} \right]^{0.5}$$

بحيث يمثل:

$S.E|X'_1 - X'_2|$: الخطأ المعياري لفرق بين المتوسطين.

تكرار واتجاه تغير سرعة الرياح اليومية القصوى ... د. مطيره المطيري

$\hat{\sigma}_1^2$: أفضل تقدير للانحراف المعياري للمتوسط الأول.

$\hat{\sigma}_2^2$: أفضل تقدير للانحراف المعياري للمتوسط الثاني.

n_1 : عدد الحالات في الفترة الأولى.

n_2 : عدد الحالات في الفترة الثانية.

ويستخدم الخطأ المعياري لبيان فيما إذا كانت توجد فروق إحصائية مهمة بين المتوسطين عند مستوى الاحتمال ٥٪ (S.E. 0.05).

٤- فحص الأهمية الإحصائية (t) ستودنست (t student's test) لبيان أهمية الفرق بين المتوسطين عند مستوى الأهمية الإحصائية ٥٪ . ٠٠٥ بتطبيق المعادلة الآتية:

$$t = \frac{|X'_1 - X'_2|}{\sqrt{\frac{\hat{\sigma}_1^2}{n_1} + \frac{\hat{\sigma}_2^2}{n_2}}}^{0.5}$$

وتقارن قيمة (t) المحسوبة بهذه العلاقة مع قيمة (t) المجدولة عند مستوى الأهمية الإحصائية ٥٪ . ٠٠٥ ودرجة الحرية المناسبة (d.f) للفترتين. وتحسب درجة الحرية بتطبيق المعادلة الآتية:

$$d.f = (n_1 + n_2) - 2$$

التحليل والمناقشة

١- تحليل تكرار الرياح اليومية القصوى

(أ)- تحليل تكرار اتجاهات هبوب الرياح اليومية القصوى

يظهر تصنيف تكرار سرعة الرياح اليومية القصوى حسب اتجاهات هبوبها الذي يمثل عدد أيام هبوب الرياح أن الرياح الشمالية تتصدر هبوب الرياح في محطة الدمام بما يعادل ٤٠٦ يوم يمثل نسبة قدرها ٢٧.٥٪ من إجمالي تكرار هبوب الرياح خلال فترة الدراسة الجدول (٢) والشكل (٢).

**الجدول (٢) التوزيع التكراري لأيام هبوب الرياح اليومية القصوى خلال الفترة
١٩٧٨-٢٠١٧ م بمنطقة الدراسة**

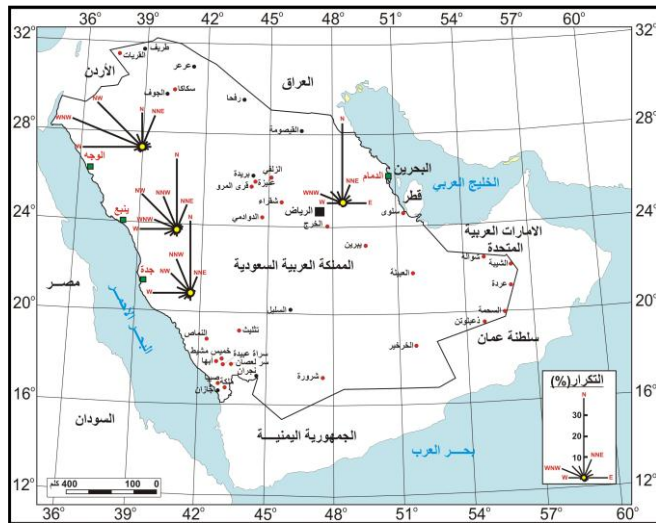
| جده | | ينبع | | الوجه | | الدمام | | الاتجاه |
|------------|--------------|------------|--------------|------------|--------------|------------|--------------|----------------|
| % | التكرار | % | التكرار | % | التكرار | % | التكرار | |
| 29.9 | 4919 | 0.7 | 108 | 10.5 | 1530 | 27.5 | 4016 | N |
| 5.9 | 974 | 0.8 | 112 | 10.6 | 1541 | 7.5 | 1098 | NNE |
| 1.0 | 168 | 1.3 | 186 | 2.2 | 317 | 4.3 | 629 | NE |
| 1.5 | 248 | 2.3 | 335 | 3.6 | 519 | 4.8 | 705 | ENE |
| 1.1 | 176 | 3.3 | 495 | 2.6 | 386 | 12.4 | 1816 | E |
| 0.1 | 17 | 0.9 | 132 | 1.1 | 159 | 2.7 | 388 | ESE |
| 0.2 | 31 | 0.4 | 63 | 0.3 | 43 | 2.9 | 425 | SE |
| 0.5 | 90 | 0.8 | 113 | 0.1 | 22 | 2.3 | 342 | SSE |
| 2.6 | 433 | 4.5 | 659 | 0.8 | 116 | 2.8 | 413 | S |
| 1.8 | 301 | 1.5 | 225 | 1.1 | 153 | 0.5 | 73 | SSW |
| 2.8 | 464 | 4.1 | 606 | 1.2 | 175 | 0.4 | 62 | SW |
| 5.4 | 886 | 12.7 | 1880 | 2.3 | 331 | 0.3 | 48 | WSW |
| 15.7 | 2573 | 64.0 | 9460 | 17.3 | 2523 | 7.1 | 1030 | W |
| 5.3 | 867 | 0.0 | 1 | 23.5 | 3420 | 12.1 | 1760 | WNW |
| 11.2 | 1842 | 2.0 | 303 | 18.9 | 2750 | 8.2 | 1195 | NW |
| 14.8 | 2439 | 0.8 | 112 | 4.0 | 578 | 4.1 | 602 | NNW |
| 100 | 16429 | 100 | 14791 | 100 | 14564 | 100 | 14604 | المجموع |

وتليها الرياح الشرقية والرياح الغربية شمالية غربية بتكرار متمناثة تقربياً بلغت على التوالي ١٨١٦ و ١٧٦٠ تكرار تمثل نسبة قدرها أيضاً على التوالي ١٢.٤% و ١٢.١% من إجمالي تكرار هبوب الرياح بمحطة الدمام.

وتتصدر الرياح الغربية شمالية غربية هبوب الرياح بمحطة الوجه وتليها الرياح الشمالية غربية بإجمالي تكرار بلغ على التوالي ٣٤٢٠ و ٢٧٥٠ يوم يمثل أيضاً نسبة بلغت على التوالي ٢٣.٥% و ١٨.٩% من إجمالي تكرار هبوب الرياح بالمحطة المذكورة.

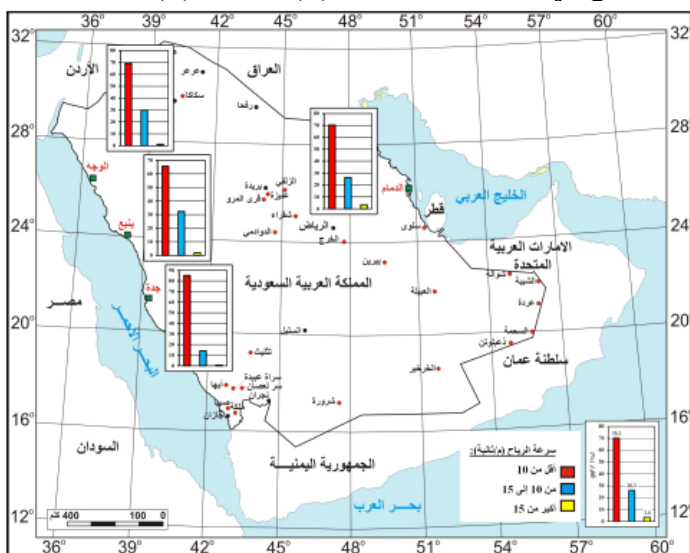
وتهيمن الرياح الغربية بإجمالي تكرار بلغ ٩٤٦٠ يوم يمثل ٦٤.٠% من إجمالي تكرار هبوب الرياح بمحطة ينبع. وفي محطة جدة تتتصدر الرياح الشمالية هبوب الرياح بتكرار بلغ ٤٩١٠ يوم وتليها الرياح الغربية والرياح الشمالية غربية بتكرار بلغ على التوالي ٢٥٧٣ و ٢٤٣٩ يوم ويمثل على التوالي ١٥.٧% و ١٤.٨% من إجمالي تكرار هبوب الرياح بمحطة جده.

تكرار واتجاه تغير سرعة الرياح اليومية القصوى د. مطيره المطيري



الشكل (٢) وردات تكرار سرعة الرياح اليومية القصوى بمنطقة الدراسة خلال الفترة ١٩٧٨-٢٠١٧ م

(ب) تحليل تكرار اتجاهات هبوب الرياح اليومية القصوى
تم تحليل تكرار سرعة الرياح اليومية القصوى بالاعتماد على تصنيف
بيانات سرعة الرياح في ثلاثة فئات الجدول (٣) والشكل (٣)



الشكل (٣) توزيع فئات تكرار سرعة الرياح اليومية القصوى بمنطقة الدراسة خلال الفترة ١٩٧٨-٢٠١٧ م

**الجدول (٣) التوزيع التكراري لفئات سرعة الرياح اليومية القصوى خلال الفترة
١٩٧٨-٢٠١٧ م بمنطقة الدراسة**

| الفئات (م/ثانية) | المجموع | الدمام | الوجه | ينبع | جده |
|------------------|------------|--------|-------|-------|-------|
| النكرار (%) | 16429 | 14604 | 14564 | 14791 | 506 |
| | 0 - 01 | 1023 | 302 | 521 | 3.1 |
| النكرار (%) | 13492 | 9249 | 9760 | 9197 | 13492 |
| | 10 - 10 | 7.0 | 2.1 | 3.5 | 82.1 |
| النكرار (%) | 2314 | 3834 | 4334 | 4793 | 2314 |
| | أكبر من 10 | 63.3 | 67.0 | 62.2 | 14.1 |
| | | 26.3 | 29.8 | 32.4 | |

ويتضح من بيانات الجدول (٣) أن الرياح اليومية التي لا تتعدي سرعتها القصوى ١٠ م/ثانية هي الأكثر حدوثاً بمنطقة الدراسة بتكرار بلغ ١٠٢٧٢ يوم بمحيطة الدمام و ١٠٠٦٢ يوم بمحيطة الوجه و ٩٧١٨ يوم بمحيطة ينبع و ١٣٩٩٨ يوم بمحيطة جده، أي ما يعادل نسباً قدرها على التوالي ٣٧٠.٣% و ٦٩.١% و ٦٥.٧% و ٨٥.٢% من إجمالي تكرار الرياح بالمحطات المذكورة. وبلغ تكرار هبوب الرياح التي تتراوح سرعتها بين ١٠ و ١٥ م/ثانية ٣٨٣٤ يوم بمحيطة الدمام و ٤٣٣٤ يوم بمحيطة الوجه و ٤٧٩٣ يوم بمحيطة ينبع و ٢٣١٤ يوم بمحيطة جده، أي ما يعادل نسبة قدرها على التوالي ٢٦.٣% و ٢٩.٨% و ٣٢.٤% و ٤١.١% من إجمالي تكرار الرياح. في حين لا يتعدى تكرار الرياح التي تفوق سرعتها ١٥ م/ثانية ٤٩٨ يوم بمحيطة الدمام و ١٦٨ يوم بمحيطة الوجه و ٢٨٠ يوم بمحيطة ينبع و ١١٧ يوم بمحيطة جده، وهي تشكل نسبة لا تتعدي على التوالي ٣.٤% و ١.٢% و ١.٩% و ٠.٧% و ٠.٠% من إجمالي تكرار الرياح. وتعتبر فئة الرياح التي لا تتعدي سرعتها القصوى ١٠ م/ثانية من نوع النسيم الخفيف أو الجميل وفئة الرياح التي تتراوح سرعتها بين ١٠ و ١٥ م/ثانية من نوع الهواء البارد، في حين تعتبر فئة الرياح التي تفوق سرعتها ١٥ م/ثانية من نوع الرياح القوية حسب تصنيف سلم Beaufort لقوة الرياح.

٢- الفحص الاحصائي لبيانات سرعة الرياح اليومية القصوى

(أ) فحص التوزيع الطبيعي لتكرار سرعة الرياح اليومية القصوى

يتطلب فحص التوزيع الطبيعي لتكرار سرعة الرياح اليومية القصوى ترتيب قيم السرعة ترتيباً تصاعدياً وتقسيمها إلى فئات، تبدأ فيها الفئة التي تحتوي على أقل القيم بالرقم ١. ولقد تم تقسيم بيانات سرعة الرياح اليومية القصوى للفترة المدروسة إلى خمس فئات هي: (الجدول ٤)

تكرار واتجاه تغير سرعة الرياح اليومية القصوى ... د. مطيره المطيري

**الجدول (٤) التوزيع التكراري لفئات سرعة الرياح اليومية القصوى خلال الفترة
٢٠١٧-١٩٧٨ م بمنطقة الدراسة**

| الفئة السرعة (م/ثانية) | المجموع | الدمام | الوجه | ينبع | جده |
|------------------------|---------------|--------------|--------------|--------------|-------|
| ٥٠ - ٠ | ٥٠٠ - ٥٠١ | ١٠٢٣ | ٣٠٢ | ٥٢١ | ٥٠٦ |
| % | | ٧.٠ | ٢.١ | ٣.٥ | ٣.١ |
| ١٠٠ - ٥٠١ | ١٥٠٠ - ١٥٠١ | ٩٢٤٩ | ٩٧٦٠ | ٩١٩٧ | ١٣٤٩٢ |
| % | | ٦٣.٣ | ٦٧.٠ | ٦٢.٢ | ٨٢.١ |
| ١٥٠٠ - ١٠٠١ | ٢٠٠٠ - ١٥٠١ | ٣٨٣٤ | ٤٣٣٤ | ٤٧٩٣ | ٢٣١٤ |
| % | | ٢٦.٣ | ٢٩.٨ | ٣٢.٤ | ١٤.١ |
| ٢٠٠٠ - ١٥٠١ | أكبر من ٢٠٠٠ | ٤٦٨ | ١٥٣ | ٢٦٧ | ١٠٤ |
| % | | ٣.٢ | ١.١ | ١.٨ | ٠.٦ |
| ٢٠٠٠ - ١٥٠١ | أكبر من ٢٠٠٠ | ٣٠ | ١٥ | ١٣ | ١٣ |
| % | | ٠.٢ | ٠.١ | ٠.١ | ٠.١ |
| المجموع | | | | | |
| | ١٤٦٤٢٩ | ١٤٧٩١ | ١٤٥٦٤ | ١٤٦٠٤ | |

ولقد تم اختبار مطابقة توزيعات تكرار سرعة الرياح اليومية القصوى للتوزيع الطبيعي بتطبيق فحصين غير معلمين هما فحص Shapiro-Wilk وفحص Kolmogorov-Smirnov بكل محطة باستخدام أسلوب التحليل الاحصائي من أدوات الوصف الاحصائي في برنامج SPSS Analyse وقد أعطى فحص المطابقة النتائج التالية: الجدول (٥).

ويتبين من نتائج هذا الفحص أن مستوى الدلالة (Sig.) في اختبار Shapiro-Wilk يقل بجميع المحطات ولجميع الفئات عن قيمة مستوى الدلالة الحرجية ٠.٠٥ عدا الفئة الخامسة بمحطة جدة. ولذلك نرفض فرضية العدم ونقبل الفرضية البديلة التي تفيد بوجود اختلاف حقيقي بين توزيع تكرار سرعة القصوى والتوزيع الطبيعي بالمحطات المدروسة.

الجدول (٥) نتائج فحص حسن مطابقة تكرار سرعة الرياح اليومية القصوى المسجلة خلال الفترة ٢٠١٧-١٩٧٨ م للتوزيع الطبيعي بمنطقة الدراسة

| Kolmogorov-Smirnov ^a | | | Shapiro-Wilk | | | الفئة (م/ثانية) | المحطة |
|---------------------------------|------|-------|--------------|-------|-------|-----------------|--------|
| Statistic | df | Sig. | Statistic | df | Sig. | | |
| 0.327 | 1023 | 0.000 | 0.659 | 1023 | 0.000 | ٥٠ - ٠ | الدمام |
| 0.099 | 9249 | 0.000 | ----- | ----- | ----- | ١٠٠ - ٥٠١ | |
| 0.14 | 3834 | 0.000 | 0.927 | 3834 | 0.000 | ١٥٠٠ - ١٠٠١ | |
| 0.173 | 468 | 0.000 | 0.895 | 468 | 0.000 | ٢٠٠٠ - ١٥٠١ | |
| 0.334 | 30 | 0.000 | 0.396 | 30 | 0.000 | أكبر من ٢٠٠٠ | |
| 0.455 | 302 | 0.000 | 0.424 | 302 | 0.000 | ٥٠ - ٠ | الوجه |

| | | | | | | | |
|-------|-------|-------|-------|-------|-------|-------------|------|
| 0.149 | 9760 | 0.000 | ----- | ----- | ----- | ١٠٠ - ٥١ | ينبع |
| 0.224 | 4334 | 0.000 | 0.868 | 4334 | 0.000 | ١٥٠ - ١٠١ | |
| 0.225 | 153 | 0.000 | 0.867 | 153 | 0.000 | ٢٠٠ - ١٥١ | |
| 0.179 | 15 | .200* | 0.862 | 15 | 0.026 | ٢٠٠ من أكبر | |
| 0.423 | 521 | 0.000 | 0.61 | 521 | 0.000 | ٥٠ - ٠ | |
| 0.133 | 9197 | 0.000 | ----- | ----- | ----- | ١٠٠ - ٥١ | |
| 0.206 | 4793 | 0.000 | 0.883 | 4793 | 0.000 | ١٥٠ - ١٠١ | |
| 0.198 | 267 | 0.000 | 0.87 | 267 | 0.000 | ٢٠٠ - ١٥١ | |
| 0.238 | 13 | 0.043 | 0.789 | 13 | 0.005 | ٢٠٠ من أكبر | جده |
| 0.463 | 506 | 0.000 | 0.533 | 506 | 0.000 | ٥٠ - ٠ | |
| 0.159 | 13492 | 0.000 | ----- | ----- | ----- | ١٠٠ - ٥١ | |
| 0.296 | 2314 | 0.000 | 0.79 | 2314 | 0.000 | ١٥٠ - ١٠١ | |
| 0.199 | 104 | 0.000 | 0.844 | 104 | 0.000 | ٢٠٠ - ١٥١ | |
| 0.204 | 13 | 0.143 | 0.92 | 13 | 0.253 | ٢٠٠ من أكبر | |

(ب) فحص تجانس توزيع تكرار سرعة الرياح اليومية القصوى من خلال نتائج اختبار تجانس تكرار سرعة الرياح اليومية القصوى المبنية بالجدول (٦) يتبيّن أن قيمة اختبار Levene Statistic 162.704 تترواوح بين ٢٧٣.٢٠٤ بمحطة الدمام وأن قيمة مستوى الدلالة Sig. = 0.000 وهي أقل من ٠.٠٥ بجميع المحطات، لذلك نرفض فرضية العدم التي تقييد بعدم وجود تباين ونقبل الفرضية البديلة التي تفيّد بوجود تباين في توزيع تكرار سرعة الرياح القصوى بجميع المحطات المدروسة.

الجدول (٦) نتائج اختبار تجانس تكرار سرعة الرياح اليومية القصوى المسجلة خلال الفترة ١٩٧٨-٢٠١٧ م بمنطقة الدراسة

| Sig. | df2 | df1 | Levene Statistic | المحطة |
|-------|-------|-----|------------------|--------|
| 0.000 | 16424 | 4 | 273.204 | الدمام |
| 0.000 | 16424 | 4 | 162.704 | الوجه |
| 0.000 | 16424 | 4 | 226.921 | ينبع |
| 0.000 | 16424 | 4 | 190.356 | جده |

(ج)- فحص تباين توزيع تكرار سرعة الرياح اليومية القصوى أعطى فحص التباين لتوزيع تكرار سرعة الرياح اليومية القصوى خلال الفترة ١٩٧٨-٢٠١٧ بالمحطات المدروسة النتائج التالية الجدول (٧)

تكرار واتجاه تغير سرعة الرياح اليومية القصوى ... د. مطيره المطيري

**الجدول (٧) نتائج فحص التباين لتوزيع تكرار سرعة الرياح اليومية القصوى
خلال الفترة ١٩٧٨-٢٠١٧ م بمنطقة الدراسة**

| Sig. | F | مربع المتوسط | درجة الحرية | مجموع التربيعات | فحص التباين | المحطة |
|-------|---------|-----------------|----------------|--------------------|----------------|--------|
| | | Mean Square | df | Sum of Squares | | |
| 0.000 | 21006.2 | 142991 | 4 | 571963 | بين المجموعات | الدمام |
| | | 6.807 | 16424 | 111799 | داخل المجموعات | |
| | | --- | 16428 | 683762 | المجموع | |
| 0.000 | 14833.3 | 94037.5 | 4 | 376150 | بين المجموعات | الوجه |
| | | 6.34 | 16424 | 104122 | داخل المجموعات | |
| | | --- | 16428 | 480272 | المجموع | |
| 0.000 | 15022.0 | 94994.2 | 4 | 379977 | بين المجموعات | ينبع |
| | | 6.324 | 16424 | 103860 | داخل المجموعات | |
| | | --- | 16428 | 483837 | المجموع | |
| 0.000 | 7129.0 | 46195.2 | 4 | 184781 | بين المجموعات | جده |
| | | 6.48 | 16424 | 106425 | داخل المجموعات | |
| | | --- | 16428 | 291206 | المجموع | |

من خلال نتائج فحص تباين تكرار سرعة الرياح اليومية القصوى المبنية بالجدول ٧ يتبيّن أن قيمـة اختبار F تتراوح بين ٢١٢٩.٠ و ٢١٠٠٦.٢ بمـحطة الدـمام وـهي أـكـبر من الـقيـمة الـحرـجة ٢٣٧١٩ وـأن قـيمـة مـسـتـوى الدـلـالـة $Sig. = 0.000$. بذلك نـرـفـض فـرـضـيـة العـدـم وـنـقـبـل فـرـضـيـة الـبـدـيلـة الـتـي تـقـيد بـوـجـود تـبـاـيـن حـقـيقـيـ في تـوزـع تـكـرـار سـرـعـة الـرـيـاح الـيـوـمـيـة الـقصـوـيـ بـالـمـحـطـات الـمـدـرـوـسـة.

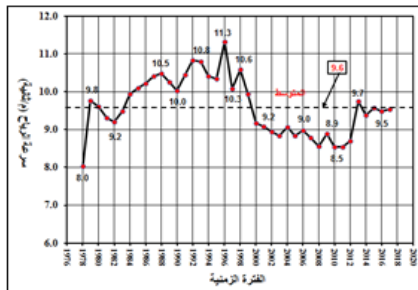
٣- مقارنة معدلات سرعة الرياح اليومية القصوى بمتطلباتها الحسابية لتحديد مدى اختلاف قيم سرعة الرياح اليومية القصوى عن متوسطها الحسابي خلال الفترة المدرosa، فقد تم تطبيق الاختبار الامثلمي ذي الحدين Nonparametric tests Binomial Test في برنامج SPSS. وقد أعطى هذا الفحص النتائج التالية: الجدول (٤) والأشكال (٥، ٦، ٧).

الجدول (٨) نتائج فحص ذي الحدين Binomial test لمقارنة نوزيع سرعة الرياح اليومية القصوى بمتوسطاتها الحسابية بمنطقة الدراسة خلال الفترة ١٩٧٨ - ٢٠١٧ م

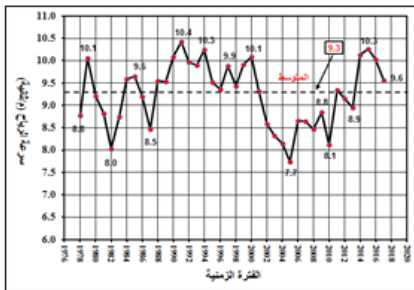
| المحطة | المجموعة | الفترة (م/ثانية) | النكرار | Observe d Prop. | Test Prop. | Exact Sig. (2-tailed) |
|--------|----------|------------------|---------|-----------------|------------|-----------------------|
| الدمام | Group 1 | ٩.٣<= | 8718 | 0.6 | 0.5 | 0.000 |
| | Group 2 | ٩.٣> | 5886 | 0.4 | 0.5 | 0.000 |
| | Total | ----- | 14604 | 1.0 | 0.5 | 0.000 |
| الوجه | Group 1 | ٩.٦<= | 7765 | 0.53 | 0.5 | 0.000 |
| | Group 2 | ٩.٦> | 6839 | 0.47 | 0.5 | 0.000 |
| | Total | ----- | 14604 | 1.0 | 0.5 | 0.000 |
| ينبع | Group 1 | ٩.٧<= | 7702 | 0.47 | 0.5 | 0.000 |
| | Group 2 | ٩.٧> | 8727 | 0.53 | 0.5 | 0.000 |
| | Total | ----- | 16429 | 1.0 | 0.5 | 0.000 |
| جده | Group 1 | ٨.٧<= | 8979 | 0.55 | 0.5 | 0.000 |
| | Group 2 | ٨.٧> | 7450 | 0.45 | 0.5 | 0.000 |
| | Total | ----- | 16429 | 1.0 | 0.5 | 0.000 |

ويتبين من بيانات الجدول (٨) أن قيمة مستوى الدلالة الاحصائية لسرعة الرياح اليومية القصوى يساوي ٠.٠٠٠ بجميع المحطات المدروسة وهو أقل من قيمة مستوى الدلالة الحرجة ٠.٠٥ . وعليه نرفض فرضية العدم ونقبل الفرضية البديلة التي تقييد بأن هناك اختلاف حقيقي بين سرعة الرياح اليومية القصوى ومتوسطتها الحسابي خلال الفترة ١٩٨٥-٢٠١٧ بتكرارت تقل عن المتوسط الحسابي بما يعادل ٨٧١٨ يوم بالدمام و ٧٧٦٥ يوم بالوجه و ٧٧٠٢ يوم بينبع و ٨٩٧٩ يوم بجده، أي ما يعادل نسباً قدرها على التوالي ٥٩.٧٪ و ٥٣.٢٪ و ٥٤.٧٪ و ٥٤.٩٪ من إجمالي تكرارات سرعة الرياح اليومية القصوى خلال الفترة المدروسة.

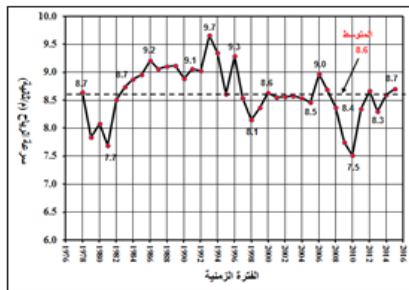
تكرار واتجاه تغير سرعة الرياح اليومية القصوى د. مطيره المطيري



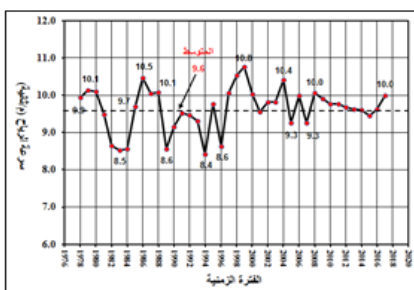
الشكل (٥) معدلات سرعة الرياح اليومية القصوى خلال الفترة ١٩٧٨-٢٠١٧ م بمحطة الوجه



الشكل (٦) معدلات سرعة الرياح اليومية القصوى خلال الفترة ١٩٧٨-٢٠١٧ م بمحطة الدمام



الشكل (٧) معدلات سرعة الرياح اليومية القصوى خلال الفترة ١٩٧٨-٢٠١٥ م بمحطة ينبع



الشكل (٨) معدلات سرعة الرياح اليومية القصوى خلال الفترة ١٩٧٨-٢٠١٧ م بمحطة بريج

٤- مقارنة معدلات سرعة الرياح اليومية القصوى بمنطقة الدراسة
يبين الجدول (٩) أن الفرق بين معدلات سرعة الرياح اليومية القصوى دال
ومهم احصائياً بين محطة جده من جهة ومحطات الدمام والوجه وبين من جهة ثانية،
وغير دال وغير مهم احصائياً بين بقية المحطات الأخرى. لا يوجد اختلاف بين
معدلات سرعة الرياح في المحطات المدروسة عدا محطة جهة.
الجدول (٩) نتائج المقارنة المتعددة بين قيم سرعة الرياح اليومية القصوى خلال
الفترة ١٩٧٨-٢٠١٧ م بمجموعة الدراسة

| المحطة الرئيسية | محطة المقارنة | الفرق بين المتوسطين | الانحراف المعياري | مستوى الدلالة | مستوى الثقة عند %٩٥ | | | |
|-----------------|---------------|---------------------|-------------------|---------------|---------------------|-------------|------|------------|
| | | | | | Upper Bound | Lower Bound | Sig. | Std. Error |
| الدمام | الوجه | -0.66 | 0.49925 | 0.188 | 0.3262 | -1.6462 | | |
| | جده | 2.08* | 0.49925 | 0.000 | 3.0637 | 1.0913 | | |
| | ينبع | -0.72 | 0.49925 | 0.154 | 0.2712 | -1.7012 | | |

| | | | | | | |
|---------|---------|-------|---------|--------|-------|-------|
| 1.6462 | -0.3262 | 0.188 | 0.49925 | 0.66 | الدام | |
| 3.7237 | 1.7513 | 0.000 | 0.49925 | 2.74* | جده | الوجه |
| 0.9312 | -1.0412 | 0.912 | 0.49925 | -0.06 | ينبع | |
| -1.0913 | -3.0637 | 0.000 | 0.49925 | -2.08* | الدام | |
| -1.7513 | -3.7237 | 0.000 | 0.49925 | -2.74* | الوجه | جده |
| -1.8063 | -3.7787 | 0.000 | 0.49925 | -2.79* | ينبع | |
| 1.7012 | -0.2712 | 0.154 | 0.49925 | 0.72 | الدام | |
| 1.0412 | -0.9312 | 0.912 | 0.49925 | 0.06 | الوجه | ينبع |
| 3.7787 | 1.8063 | 0.000 | 0.49925 | 2.79* | جده | |

٥-تحليل الاتجاه لعام لتغير سرعة الرياح اليومية القصوى
 يمثل الجدول (١٠) نتائج حساب اتجاه سرعة الرياح اليومية القصوى
 بطريقة المتوسطات النصفية بالمحطات المدروسة، وفيه تم حساب متوسط السرعة
 لكل فترة (X_1, X_2) بكل محطة وعدد سنوات كل فترة (n_1, n_2) ، وعامل ميلان الخط
 المار بمتوسطي الفترتين (b) والذي يمثل خط اتجاه تغير سرعة الرياح في المحطة
 الجدول (١٠).

الجدول (١٠) المتوسطات النصفية لسرعة الرياح اليومية القصوى بمنطقة الدراسة

| b | T ₂ | T ₁ | n ₂ | X ₂ | n ₁ | X ₁ | المحطة |
|---------------|----------------|----------------|----------------|----------------|----------------|----------------|--------|
| -0.036 | 2007.5 | 1987.5 | 20 | ٩.١ | 20 | ٩.٥ | الدمام |
| -0.087 | 2007.5 | 1987.5 | 20 | ٩.١ | 20 | ١٠.١ | الوجه |
| 0.041 | 2007.5 | 1987.5 | 20 | ٩.٩ | 20 | ٩.٤ | ينبع |
| -0.040 | 2006.0 | 1987.0 | 19 | ٨.٤ | 19 | ٨.٨ | جده |

بيانات الجدول:

١-أن سرعة الرياح اليومية القصوى ذات اتجاه متناقض بكل المحطات عدا محطة ينبوع.

٢-أن جميع الاتجاهات ذات قيم انحدار بسيطة تراوحت قيمها بين .٨٧٪ و .٤١٪ بمحيط الوجه و .٠٥٪ بمحيط ينبع.

ولقد بين فحص الأهمية الإحصائية بطريقة الخطأ المعياري للفرق بين المتوسطين $|X_1 - X_2| \geq 2SE$ وجود فروق ذات أهمية إحصائية بين المتوسطين النصفين عند مستوى الاحتمال ٥٪، بحيث كانت الفروق أكبر من ضعف الخطأ المعياري للفرق بين المتوسطين في محيط الوجه وجده الجدول (١٢). وتعد هذه الفروق الحاصلة ذات دلالة إحصائية هامة لأن احتمالية حدوثها تزيد عن ٩٥٪. ويشترط لأن يكون الفرق ذات أهمية إحصائية وبالتالي

تكرار واتجاه تغير سرعة الرياح اليومية القصوى ... د. مطير المطيري

**الجدول (١١) فحص الأهمية الإحصائية لمعامل الميلان "b" للمتوسطات النصفية
بمنطقة الدراسة عند مستوى الاحتمال ٥%**

| المتغير | df | غير مهم | مهم | مهم | ينبع | جده |
|--------------|---------|---------|-------|-------|-------|-------|
| X_1 | ٩٤ | ١٠١ | ٩٤ | ٩٤ | ٩٤ | ٨.٨ |
| σ_1^2 | ٠٤٠ | ٠٥٠ | ٠٤٠ | ٠٤٤ | ٠٤٤ | ٠٢٦ |
| n_1 | ٢٠ | ٢٠ | ٢٠ | ٢٠ | ٢٠ | ١٩ |
| X_2 | ٩١ | ٩٢ | ٩١ | ٩٨ | ٩٨ | ٨٤ |
| σ_2^2 | ٠٥٧ | ٠٢٨ | ٠٥٧ | ٠١٥ | ٠١٥ | ٠١١ |
| n_2 | ٢٠ | ٢٠ | ٢٠ | ٢٠ | ٢٠ | ١٩ |
| X_1-X_2 | ٤٠. | ٤٠. | ٤٠. | ٤٠. | ٤٠. | ٤٠. |
| ٢SE | ٠٤٤ | ٠٤٠ | ٠٤٤ | ٠٣٤ | ٠٣٤ | ٠٢٨ |
| t_c | ١.٦٦٣ | ٤.٥٣٠ | ١.٦٦٣ | ٢.٤٢٣ | ٢.٤٢٣ | ٢.٧٩٢ |
| $t_{5\%}$ | ٢.٠٢٤ | ٢.٠٢٤ | ٢.٠٢٤ | ٢.٠٢٤ | ٢.٠٢٤ | ٢.٠٢٨ |
| df | ٣٨ | ٣٨ | ٣٨ | ٣٨ | ٣٨ | ٣٦ |
| درجة الأهمية | غير مهم | مهم | مهم | مهم | ينبع | جده |

جوهرى وحقيقة أن يزيد عن ضعفى أو ٣ ضعاف الخطأ المعياري (S.E) (2) أو (3) للفرق وإلا أعتبر غير مهم إحصائياً ومرفوضاً (Gregory, 1970) (Crowe, 1971). وعليه تعد اتجاهات التغير العام الممثلة بخطوط انحدار الفروق بين المتوسطات النصفية مهمة إحصائياً وجواهرية أو حقيقة وهي غير ناجمة عن عشوائية نظام هبوب الرياح اليومية القصوى بالمحطتين المذكورتين. وقد أكد فحص الأهمية الإحصائي " t " ستودنت لفرق بين المتوسطات النصفية هذه النتيجة أيضاً. فمن خلال نتائج الجدول ١٢ جاءت قيمة " t " المحسوبة لفرق بين المتوسطات أكبر من قيمة " t " الحرجة عند مستوى الأهمية ٠٠٥ . وهي ٢٠٢٤ المناسبة لدرجة الحرية (n-2) ٣٨ بمحطتي الوجه وينبع و ٢٠٢٨ المناسبة لدرجة الحرية (n-2) ٣٦ بمحطة جده. ويشرط لكي يكون الفرق بين المتوسطات النصفية مهماً وجواهرياً أن تكون قيمة " t " أكبر من قيمة " t " الحرجة عند مستوى الأهمية ٠٠٥ . ودرجة الحرية المناسبة بالمحطة، أي أن قيمة $t_{0.05} < t_c$ وإلا أعتبر الفرق الحالى غير مهم وناتج عن الحظ ومرفوضاً (Oliver, 1981 ; Gregory, 1970). وعليه فإن اتجاهات التغير المحسوبة في المحطات المدروسة تمثل اتجاهات متناقصة ذات أهمية إحصائية يمكن الاعتماد عليها في تحليل التغيرات الزمنية والمكانية المتناقضة لسرعة الرياح اليومية القصوى بمحطات الوجه وينبع وجده عدا اتجاه التغير بمحطة الدمام الذي أظهر اتجاهًا متناقصاً غير دال إحصائياً.

- ٦-تحليل الاتجاه العام لنغير السرعة القصوى اليومية للرياح
- ٦-الفحص الإحصائي لتكرار السرعة القصوى اليومية للرياح

لتحليل تكرار السرعة اليومية القصوى لرياح خلال الفترة ١٩٧٨-١٩١٧، وهي أقصى سرعة لهبوب الرياح في السنة الجدول(١٣)، تم تقسيم قيم السرعة إلى خمس فئات هي: الجدول (١٤).

- الفئة الأولى تتشكل من قيم سرعة الرياح اليومية القصوى التي لا تتعدي ١٥ م/ثانية.
- الفئة الثانية تتشكل من قيم سرعة الرياح اليومية القصوى التي تتراوح بين ١٥ و ٢٠ م/ثانية.
- الفئة الثالثة تتشكل من قيم سرعة الرياح اليومية القصوى التي تتراوح بين ٢٠ و ٢٥ م/ثانية.
- الفئة الرابعة تتشكل من قيم سرعة الرياح اليومية القصوى التي تتراوح بين ٢٥ و ٣٠ م/ثانية.
- الفئة الخامسة تتشكل من قيم سرعة الرياح اليومية القصوى التي تفوق ٣٠ م/ثانية.

وبحسب تصنيف سلم بوفور Beaufort لقوة الرياح فإن الفئة الأولى تمثل الرياح التي تهب على شكل نسيم بنسبة تكرار لا تتعدي ٧.٥٪ والفئة الثانية تمثل الرياح الباردة التي تهب بنسبة تكرار تتراوح بين ٣٠..٠٪ بمحيطة الدمام و ٧٨.٩٪ بمحيطة جدة والفئة الثالثة تمثل الرياح القوية التي تهب بنسبة تكرار تتراوح بين ١٥.٨٪ بمحيطة جده و ٥٧.٥٪ بمحيطة الدمام والفتان الرابعة والخامسة تمثلان رياح العواصف التي تهب بنسبة تكرار تتراوح بين ٢.٦٪ بمحيطة جده و ٧.٥٪ بمحيطتي الدمام والوجه الشكلي(٨).

الجدول (١٢) السرعة اليومية القصوى لرياح (م/ثانية) خلال الفترة ١٩٧٨-١٩١٧ م بمنطقة الدراسة

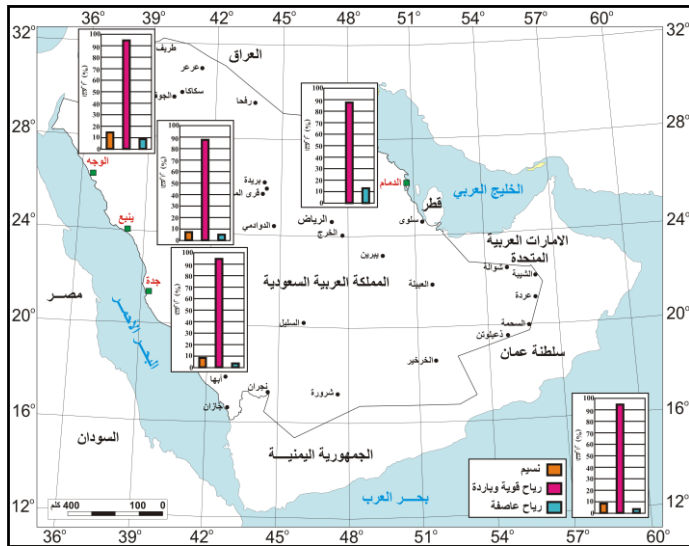
| السنة | الدام | الوجه | ينبع | جده | السنة | الدام | الوجه | ينبع | جده |
|-------|-------|-------|------|------|-------|-------|-------|------|------|
| 1978 | 18.5 | 18.0 | 22.1 | 20.6 | 1996 | 59.1 | 19.0 | 18.0 | 20.6 |
| 1979 | 23.1 | 23.0 | 20.6 | 23.6 | 1997 | 22.1 | 20.6 | 23.6 | 20.6 |
| 1980 | 20.6 | 20.6 | 25.2 | 17.5 | 1998 | 19.0 | 23.1 | 18.0 | 18.0 |
| 1981 | 16.4 | 19.0 | 17.0 | 16.4 | 1999 | 20.6 | 17.5 | 19.5 | 19.5 |
| 1982 | 15.9 | 15.4 | 19.0 | 15.4 | 2000 | 23.1 | 19.5 | 20.6 | 20.6 |
| 1983 | 19.0 | 19.0 | 28.3 | 17.5 | 2001 | 19.5 | 14.4 | 14.4 | 20.6 |
| 1984 | 18.0 | 18.5 | 15.4 | 17.5 | 2002 | 23.1 | 14.4 | 16.4 | 16.4 |
| 1985 | 21.1 | 20.6 | 20.6 | 15.4 | 2003 | 19.5 | 14.4 | 14.4 | 15.4 |
| 1986 | 20.6 | 20.6 | 15.4 | 17.5 | 2004 | 20.6 | 18.5 | 18.5 | 18.5 |
| 1987 | 17.5 | 16.4 | 23.6 | 16.4 | 2005 | 21.1 | 19.0 | 19.0 | 19.0 |
| 1988 | 20.6 | 20.6 | 17.5 | 15.4 | 2006 | 21.1 | 19.5 | 19.5 | 19.5 |
| 1989 | 20.6 | 20.6 | 19.5 | 16.4 | 2007 | 21.1 | 20.6 | 20.6 | 20.6 |
| 1990 | 20.6 | 16.4 | 14.4 | 18.0 | 2008 | 20.6 | 23.1 | 18.5 | 18.5 |

تكرار واتجاه تغير سرعة الرياح اليومية القصوى ... د. مطيره المطيري

| | | | | | | | | | |
|-------------|-------------|-------------|-------------|------|------|------|------|------|--------------------------|
| 15.4 | 25.7 | 15.4 | 21.6 | 2009 | 18.0 | 18.5 | 21.6 | 23.1 | 1991 |
| 18.0 | 15.4 | 17.5 | 23.6 | 2010 | 18.0 | 23.6 | 21.6 | 23.1 | 1992 |
| 18.5 | 17.0 | 14.4 | 19.5 | 2011 | 19.5 | 22.1 | 21.6 | 30.3 | 1993 |
| 16.4 | 17.5 | 17.5 | 26.2 | 2012 | 20.6 | 23.1 | 22.6 | 19.5 | 1994 |
| 16.4 | 16.4 | 16.4 | 23.1 | 2013 | 14.4 | 17.5 | 16.4 | 25.7 | 1995 |
| 18.0 | 16.4 | 16.4 | 25.7 | 2014 | 20.6 | 18.0 | 22.1 | 59.1 | 1996 |
| 18.0 | 21.6 | 17.5 | 21.6 | 2015 | 23.6 | 20.6 | 20.6 | 22.1 | 1997 |
| 0.0 | 17.5 | 15.4 | 20.6 | 2016 | 17.5 | 18.0 | 25.2 | 19.0 | 1998 |
| 0.0 | 20.6 | 18.5 | 24.2 | 2017 | 16.4 | 19.0 | 17.0 | 20.6 | 1999 |
| 17.2 | 19.3 | 19.0 | 22.2 | | | | | | المتوسط |
| 4.7 | 3.0 | 3.3 | 6.6 | | | | | | الانحراف المعياري |
| 40 | 40 | 40 | 40 | | | | | | حجم العينة |
| 25.7 | 28.3 | 28.3 | 59.1 | | | | | | القيمة القصوى |

**الجدول (١٣) التوزيع التكراري للسرعة اليومية القصوى للرياح خلال الفترة
٢٠١٧-١٩٧٨ م بم منطقة الدراسة**

| نسبة السرعة (م/ثانية) | الدمام | الوجه | ينبع | جده |
|-----------------------|---------|-------|------|------|
| أقل من ١٥ | النكرار | 3 | 3 | 1 |
| | % | 7.5 | 7.5 | 2.6 |
| ٢٠ - ١٥ | النكرار | 24 | 23 | 30 |
| | % | 60.0 | 57.5 | 78.9 |
| ٢٥ - ٢٠ | النكرار | 10 | 12 | 6 |
| | % | 25.0 | 30.0 | 15.8 |
| ٣٠ - ٢٥ | النكرار | 3 | 2 | 1 |
| | % | 7.5 | 5.0 | 2.6 |
| أكبر من ٣٠ | النكرار | 0 | 0 | 0 |
| | % | 0.0 | 0.0 | 0.0 |
| المجموع | | | | 100 |



شكل (٤)

٦- الفحص الاحصائي لبيانات السرعة القصوى اليومية للرياح

(أ)- فحص التوزيع الطبيعي لتكرار السرعة القصوى اليومية للرياح

لتحديد مدى مطابقة توزيع السرعة القصوى للرياح بالمحطات المدروسة تم تطبيق فحصي Kolmogorov-Smirnov و Shapiro-Wilk في كل محطة باستخدام SPSS. وقد أعطى فحص حسن المطابقة النتائج التالية: الجدول (١٤).

الجدول (١٤) نتائج فحص حسن مطابقة تكرار السرعة القصوى للرياح اليومية المسجلة خلال الفترة ١٩٧٨-٢٠١٧م للتوزيع الطبيعي بمنطقة الدراسة

| Kolmogorov-Smirnov ^a | | | Shapiro-Wilk | | | الفئة (م/ثانية) | المحطة |
|---------------------------------|-------|-------|--------------|-------|-------|-----------------|--------|
| Statistic | df | Sig. | Statistic | df | Sig. | | |
| ----- | ----- | ----- | ----- | ----- | ----- | أقل من ١٥ | الدمام |
| 0.198 | 12 | .200* | 0.86 | 12 | 0.050 | ٢٠ - ١٥ | |
| 0.222 | 23 | 0.005 | 0.824 | 23 | 0.001 | ٢٥ - ٢٠ | |
| 0.385 | 3 | . | 0.75 | 3 | 0.000 | ٣٠ - ٢٥ | |
| 0.26 | 2 | . | | | | أكبر من ٣٠ | |
| ----- | ----- | ----- | ----- | ----- | ----- | أقل من ١٥ | الوجه |
| 0.15 | 24 | 0.175 | 0.925 | 24 | 0.075 | ٢٠ - ١٥ | |
| 0.175 | 10 | .200* | 0.911 | 10 | 0.289 | ٢٥ - ٢٠ | |
| 0.177 | 3 | . | 1 | 3 | 0.964 | ٣٠ - ٢٥ | |
| ----- | ----- | ----- | ----- | ----- | ----- | أكبر من ٣٠ | ينبع |
| ----- | ----- | ----- | ----- | ----- | ----- | أقل من ١٥ | |
| 0.16 | 23 | 0.13 | 0.959 | 23 | 0.449 | ٢٠ - ١٥ | |
| 0.193 | 12 | .200* | 0.862 | 12 | 0.051 | ٢٥ - ٢٠ | |

تكرار واتجاه تغير سرعة الرياح اليومية القصوى ... د. مطيره المطيري

| | | | | | | | |
|-------|-------|-------|-------|-------|-------|------------|-----|
| 0.26 | 2 | . | | | | ٣٠ - ٢٥ | جده |
| ----- | ----- | ----- | ----- | ----- | ----- | أكبر من ٣٠ | |
| 0.385 | 3 | . | 0.75 | 3 | 0.000 | أقل من ١٥ | |
| 0.162 | 30 | 0.042 | 0.914 | 30 | 0.019 | ٢٠ - ١٥ | |
| 0.312 | 6 | 0.069 | 0.767 | 6 | 0.029 | ٢٥ - ٢٠ | |
| ----- | ----- | ----- | ----- | ----- | ----- | ٣٠ - ٢٥ | |
| ----- | ----- | ----- | ----- | ----- | ----- | أكبر من ٣٠ | |

ويتبين من نتائج هذا الفحص أن مستوى الدلالة (Sig.) في اختبار Shapiro-Wilk يقل بمحطتي الدمام وجده عن قيمة مستوى الدلالة الحرجية ٠٠٥ ولذلك نرفض فرضية العدم وتقبل الفرضية البديلة التي تفيد بوجود اختلاف حقيقي بين توزيع تكرار السرعة القصوى للرياح والتوزيع الطبيعي بهاتين المحطتين، في حين نجد أن مستوى الدلالة (Sig.) في اختبار Shapiro-Wilk يفوق بمحطتي الوجه وينبع عن قيمة مستوى الدلالة الحرجية ٠٠٥ ولذلك نقبل فرضية العدم التي تفيد بعدم وجود اختلاف حقيقي بين توزيع تكرار السرعة القصوى للرياح والتوزيع الطبيعي بهاتين المحطتين.

(ب)- فحص تجانس توزيع السرعة اليومية القصوى للرياح من خلال نتائج اختبار تجانس توزيع السرعة اليومية القصوى للرياح المبينة بالجدول ١٦ يتبيّن أن قيمة اختبار Levene Statistic تتراوح بين ٤٩.٨٩٧ بممحطة جده و ٣٧١.٣١٩ بممحطة الدمام وأن قيمة مستوى الدلالة Sig. = 0.000 هي أقل من ٠٠٥، لذلك نرفض فرضية العدم التي تفيد بعدم وجود تباين وتقبل الفرضية البديلة. في حين نجد أن قيمة اختبار Levene Statistic تتراوح بين ٢٧٤٠ بممحطة الوجه و ٢.٧٨٤ بممحطة ينبع وأن قيمة مستوى الدلالة Sig. تبلغ ٠٠٥٥٧ و ٠.٠٥٥ على التوالي، وهي أكبر من ٠٠٥، لذلك نقبل فرضية العدم التي تفيد بعدم وجود تباين ونرفض الفرضية البديلة التي تفيد بوجود تباين في توزيع تكرار السرعة القصوى للرياح بهاتين المحطتين.

الجدول (١٥) نتائج اختبار تجانس توزيع السرعة اليومية القصوى للرياح المسجلة خلال الفترة ١٩٧٨-٢٠١٧ م بمنطقة الدراسة

| Sig. | df2 | df1 | Levene Statistic | المحطة |
|-------|-----|-----|------------------|--------|
| 0.000 | 36 | 3 | 371.319 | الدمام |
| 0.057 | 36 | 3 | ٠.٢٧٤ | الوجه |
| 0.055 | 36 | 3 | 2.784 | ينبع |
| 0.000 | 36 | 2 | 49.897 | جده |

(ج) فحص تباين توزيع تكرار سرعة الرياح اليومية القصوى
أعطي فحص التباين لسرعة الرياح اليومية القصوى للرياح بالمحطات المدروسة
النتائج التالية: الجدول (١٦)

الجدول (١٦) نتائج فحص التباين لتوزيع تكرار سرعة الرياح اليومية القصوى خلال الفترة ١٩٧٨-٢٠١٧ بم منطقة الدراسة

| Sig. | F | مربع المتوسط | درجة الحرية | مجموع التربيعات | فحص التباين | المحطة |
|-------|--------|-----------------|----------------|--------------------|----------------|--------|
| | | Mean Square | df | Sum of Squares | | |
| 0.000 | 31.839 | 411.341 | 3 | 1234.02 | بين المجموعات | الدمام |
| | | 12.919 | 36 | 465.095 | داخل المجموعات | |
| | | ----- | 39 | 1699.12 | المجموع | |
| 0.000 | 77.510 | 126.525 | 3 | 379.575 | بين المجموعات | الوجه |
| | | 1.632 | 36 | 58.765 | داخل المجموعات | |
| | | ----- | 39 | 438.34 | المجموع | |
| 0.000 | 77.085 | 104.2 | 3 | 312.601 | بين المجموعات | ينبع |
| | | 1.352 | 36 | 48.663 | داخل المجموعات | |
| | | ----- | 39 | 361.264 | المجموع | |
| 0.000 | 40.023 | 222.653 | 3 | 667.958 | بين المجموعات | جده |
| | | 5.563 | 36 | 200.272 | داخل المجموعات | |
| | | ----- | 39 | 868.23 | المجموع | |

من خلال نتائج فحص تباين تكرار سرعة الرياح اليومية القصوى المبينة بالجدول ١٦ يتبيّن أن قيمة اختبار F تتراوح بين ٣١.٨٣٩ و ٧٧.٥١٠ بمحطة الدمام وبمحطة الوجه وهي أكبر من القيمة الحرجة ٢.٣٧١٩ وأن قيمة مستوى الدلالة Sig. = 0.000 = بجميع المحطات وهي أصغر من ٠.٠٠٥، لذلك نرفض فرضية العدم ونقبل الفرضية البديلة التي تقييد بوجود تباين حقيقي في توزيع تكرار السرعة اليومية القصوى للرياح بالمحطات المدروسة.

٣- مقارنة السرعة اليومية القصوى للرياح بمتوسطاتها الحسابية لتحديد مدى اختلاف قيم سرعة الرياح اليومية القصوى عن متوسطها الحسابي خلال الفترة المدروسة، فقد تم تطبيق الاختبار الامعاري ذي الحدين Nonparametric tests Binomial Test باستخدام أدوات الفحوص الامعارية SPSS. وقد أعطى هذا الفحص النتائج التالية: الجدول (١٧).

الجدول (١٧) نتائج فحص ذي الحدين Binomial test لمقارنة توزيع السرعة اليومية القصوى للرياح بمتوسطاتها الحسابية بم منطقة الدراسة خلال الفترة ١٩٧٨-٢٠١٧

| Exact Sig. (2-tailed) | Test Prop. | Observed Prop. | التكرار | الفئة (م/ثانية) | المجموعة | المحطة |
|--------------------------|------------|-------------------|---------|--------------------|----------|--------|
| 0.038 | 0.5 | 0.68 | 27 | <= 22.2 | Group 1 | الدمام |
| | | 0.32 | 13 | > 22.2 | Group 2 | |
| | | 1 | 40 | | Total | |

تكرار واتجاه تغير سرعة الرياح اليومية القصوى ... د. مطيره المطيري

| | | | | | | |
|-------|-----|------|----|-------------|---------|-------|
| 0.268 | 0.5 | 0.60 | 24 | ≤ 19.0 | Group 1 | الوجه |
| | | 0.40 | 16 | > 19.0 | Group 2 | |
| | | 1 | 40 | Total | | |
| 0.636 | 0.5 | 0.55 | 22 | ≤ 19.3 | Group 1 | ينبع |
| | | 0.45 | 18 | > 19.3 | Group 2 | |
| | | 1 | 40 | Total | | |
| 0.430 | 0.5 | 0.43 | 17 | ≤ 17.2 | Group 1 | جده |
| | | 0.58 | 23 | > 17.2 | Group 2 | |
| | | 1 | 40 | Total | | |

يتضح من بيانات الجدول (١٨) أن قيمة مستوى الدلالة الاحصائية لسرعة الرياح اليومية القصوى أكبر من 0.05 . . بجميع المحطات المدروسة. وعليه نقبل فرضية عدم ونرفض الفرضية البديلة التي تقيد بأن هناك اختلاف حقيقي بين السرعة اليومية القصوى للرياح ومتواسطاتها الحسابية خلال الفترة ٢٠١٧-١٩٨٥ تقل عن المتوسط الحسابي بما يعادل ٢٧ يوم بالدمام و ٤ يوم بالوجه و ٢٢ يوم ببنجع و ١٧ يوم بجده، أي ما يعادل نسباً قدرها على التوالي 68.0% و 60.0% و 55.0% و 43.0% من إجمالي تكرارات السرعة القصوى للرياح خلال الفترة المدروسة.

-مقارنة معدلات سرعة الرياح اليومية القصوى بالمحطات المدروسة يتبيّن من خلال بيانات الجدول (١٨) أن مستوى الدلالة Sig أقل من مستوى الدلالة 0.05 . . بين جميع المحطات، عدا محطة الوجه من جهة ومحيطى بنجع وجده من جهة ثانية. وعليه فإن الفرق بين السرعة اليومية القصوى للرياح دال ومهماً احصائياً بين جميع المحطات، وغير دال وغير مهم احصائياً بين محطة الوجه من جهة ومحيطى بنجع وجده. وعليه نقبل فرضية عدم التي تقيد بعدم وجود اختلاف بين السرعة القصوى للرياح في المحطات المدروسة عدا محطة الوجه.

الجدول (١٨) نتائج المقارنة المتعددة بين قيم سرعة الرياح اليومية القصوى خلال الفترة ٢٠١٧-١٩٧٨ م بمجموعة الدراسة

| مستوى الثقة عند ٩٥% | | مستوى الدلالة | الانحراف المعياري | الفرق بين المتواسطين | محطة المقارنة | المحطة الرئيسية |
|-------------------------|-------------|---------------|-------------------|----------------------|---------------|-----------------|
| 95% Confidence Interval | | Sig. | Std. Error | Mean Difference | | |
| Upper Bound | Lower Bound | | | | | |
| 5.257 | 1.153 | 0.002 | 1.03882 | 3.20500* | الوجه | الدمام |
| 4.9695 | 0.8655 | 0.006 | 1.03882 | 2.91750* | بنجع | |
| 7.0595 | 2.9555 | 0.000 | 1.03882 | 5.00750* | جده | |

| | | | | | | |
|---------|---------|-------|---------|-----------|--------|-------|
| -1.153 | -5.257 | 0.002 | 1.03882 | -3.20500* | الدمام | الوجه |
| 1.7645 | -2.3395 | 0.782 | 1.03882 | -0.2875 | ينبع | |
| 3.8545 | -0.2495 | 0.085 | 1.03882 | 1.8025 | جده | |
| -0.8655 | -4.9695 | 0.006 | 1.03882 | -2.91750* | الدمام | |
| 2.3395 | -1.7645 | 0.782 | 1.03882 | 0.2875 | الوجه | ينبع |
| 4.142 | 0.038 | 0.046 | 1.03882 | 2.09000* | جده | |
| -2.9555 | -7.0595 | 0.000 | 1.03882 | -5.00750* | الدمام | |
| 0.2495 | -3.8545 | 0.085 | 1.03882 | -1.8025 | الوجه | |
| -0.038 | -4.142 | 0.046 | 1.03882 | -2.09000* | ينبع | جده |

٥-تحليل الاتجاه لعام لتغير سرعة الرياح اليومية القصوى

يمثل الجدول (١٩) نتائج حساب اتجاه السرعة اليومية القصوى للرياح بطريقة المتوسطات النصفية بالمحطات المدروسة، وفيه تم حساب متوسط السرعة لكل فترة (X_1)، (X_2) بكل محطة وعدد سنوات كل فترة (n_1)، (n_2)، وعامل ميلان الخط المار بمتوسطي الفترتين (b) والذي يمثل خط اتجاه تغير سرعة الرياح في المحطة

الجدول (١٩) المتوسطات النصفية لسرعة الرياح اليومية القصوى للرياح بمنطقة

الدراسة

| b | T ₂ | T ₁ | n ₂ | X ₂ | n ₁ | X ₁ | المحطة |
|--------|----------------|----------------|----------------|----------------|----------------|----------------|--------|
| -٠.٠٦٠ | ٢٠٠٧.٥ | ١٩٨٧.٥ | ٢٠ | ٢١.٦ | ٢٠ | ٢٢.٨ | الدمام |
| -٠.١٢٠ | ٢٠٠٧.٥ | ١٩٨٧.٥ | ٢٠ | ١٧.٨ | ٢٠ | ٢٠.٢ | الوجه |
| ٠.٠٠٠ | ٢٠٠٧.٥ | ١٩٨٧.٥ | ٢٠ | ١٩.٣ | ٢٠ | ١٩.٣ | ينبع |
| -٠.٢١٠ | ٢٠٧.٥ | ١٩٨٧.٥ | ٢٠ | ١٥.١ | ٢٠ | ١٩.٣ | جده |

ويتبين من بيانات هذا الجدول:

١-أن سرعة الرياح اليومية القصوى ذات اتجاه متناقض بكل المحطات عدا محطة ينبع.

٢-أن جميع الاتجاهات ذات قيم انحدار سالبة بسيطة تراوحت قيمها بين -٠.٢١٠ بمحطة جده و ٠.٦٠ بمحطة الدمام.

ولقد بين فحص الأهمية الإحصائية بطريقة الخطأ المعياري للفرق بين المتوسطين $|X_2 - X_1| \geq 2SE$ وجود فروق ذات أهمية إحصائية بين المتوسطين النصفيين عند مستوى الاحتمال ٥ %، بحيث كانت الفروق أكبر من ضعف الخطأ المعياري للفرق بين المتوسطين في محطتي الوجه وجده (الجدول ٢١). وتعد هذه الفروق الحاصلة ذات دلالة إحصائية هامة لأن احتمالية حدوثها تزيد عن ٩٥ %.

تكرار واتجاه تغير سرعة الرياح اليومية القصوى ... د. مطيره المطيري

الجدول (٢٠) فحص الأهمية الإحصائية لمعامل الميلان "b" للمتوسطات النصفية
بمنطقة الدراسة عند مستوى الاحتمال ٥%

| المتغير | df | t _c | t _{5%} | n ₂ | n ₁ | σ ₁ ² | σ ₂ ² | X ₂ | X ₁ | يُنبع | جده |
|-----------------|---------|----------------|-----------------|----------------|----------------|-----------------------------|-----------------------------|----------------|----------------|---------|---------|
| X ₁ | 22.8 | 2.024 | 2.024 | 20 | 20 | 84.6 | 7.8 | 10.2 | 28.1 | 8.4 | 9.0 |
| n ₁ | 20 | 1.2 | 1.2 | 2.4 | 0.0 | 17.8 | 11.6 | 20 | 15.1 | 20 | 19.3 |
| n ₂ | 20 | 4.2 | 4.2 | 2.0 | 2.0 | 21.6 | 20.2 | 19.3 | 19.3 | 19.3 | 19.3 |
| 2SE | 4.2 | 2.437 | 0.567 | 2.024 | 2.024 | 4.8 | 7.8 | 10.2 | 28.1 | 20 | 20 |
| t _c | 0.567 | 2.437 | 0.000 | 2.024 | 2.024 | 1.2 | 2.4 | 0.0 | 4.2 | 2.7 | 2.0 |
| t _{5%} | 2.024 | 2.024 | 2.024 | 2.024 | 2.024 | 2.024 | 2.024 | 2.024 | 2.024 | 2.024 | 2.024 |
| df | 38 | 38 | 38 | 38 | 38 | 38 | 38 | 38 | 38 | 38 | 38 |
| غير مهم | غير مهم | غير مهم | غير مهم | غير مهم | غير مهم | غير مهم | غير مهم | غير مهم | غير مهم | غير مهم | غير مهم |

وتعتبر اتجاهات التغير العام الممثلة بخطوط انحدار الفروق بين المتوسطات النصفية مهمة إحصائياً وجوهريّة أو حقيقة وهي غير ناجمة عن عشوائية نظام هبوب الرياح اليومية القصوى بالمحطتين المذكورتين. وقد أكد فحص الأهمية الإحصائي ("٤") ستودنت للفرق بين المتوسطات النصفية هذه النتيجة أيضاً. فمن خلال نتائج الجدول ٢١ جاءت قيم "٤" المحسوبة للفرق بين المتوسطات أكبر من قيمة "٤" في نتائج الجدول ٢١ عند مستوى الأهمية ٠٠٥ وهي ٢٠٢٤ المناسبة لدرجة الحرية (n-2) ٣٨ بمحطة الوجه و ٢٠٢٨ المناسبة لدرجة الحرية (n-2) ٣٦ بمحطة جده. وعليه فإن اتجاهات التغير المحسوبة في محطتي الوجه وجده تمثل اتجاهات متناقصة ذات أهمية إحصائية يمكن الاعتماد عليها في تحليل التغيرات الزمنية والمكانية المتناقضة للسرعة اليومية القصوى للرياح بمحطتي الوجه وجده عدا اتجاه التغير بمحطتي الدمام وينبع اللتين أظهرتا اتجاهات متناقضاً غير دال إحصائياً.

النتائج:

توصلت الدراسة إلى النتائج التالية:

- ١- يتضح من تحليل تكرار اتجاهات هبوب الرياح اليومية القصوى حسب اتجاهات هبوبها أن:

- محطة الدمام تتصدر الرياح الشمالية هبوب الرياح بما يعادل ٤٠١٦ يوم يمثل نسبة قدرها ٢٧.٥٪، وتليها الرياح الشرقية والرياح الغربية شمالية غربية بتكرارات متماثلة تقربياً بلغت على التوالي ١٨١٦ و ١٧٦٠ تكرار تمثل نسبة قدرها ١٢.١٪ و ١٢.٤٪ من إجمالي تكرار هبوب الرياح خلال فترة الدراسة.

- بمحطة الوجه تتصدر الرياح الغربية شمالية هبوب الرياح وتليها الرياح الشمالية الغربية بإجمالي تكرار بلغ على التوالي ٣٤٢٠ و ٢٧٥٠ يوم يمثل أيضاً نسبة بلغت على التوالي ٢٣.٥% و ١٨.٩% من إجمالي تكرار هبوب الرياح خلال فترة الدراسة.
- بمحطة ينبع تسيطر الرياح الغربية بإجمالي تكرار بلغ ٩٤٦٠ يوم يمثل ٦٤.٠% من إجمالي تكرار هبوب الرياح خلال فترة الدراسة.
- محطة جدة تتصدر الرياح الشمالية هبوب الرياح بتكرار بلغ ٩١٠ يوم ويليها الرياح الغربية والرياح الشمالية شمالية غربية بتكرار بلغ على التوالي ٢٥٧٣ و ٢٤٣٩ يوم ويتمثل على التوالي ١٥.٧% و ١٤.٨% من إجمالي تكرار هبوب الرياح خلال فترة الدراسة.
- ٢- وأظهرت الدراسة أن الرياح الشمالية تتصدر هبوب الرياح في محطة الدمام والرياح الغربية شمالية غربية في محطة الوجه والرياح الغربية في محطة ينبع، والرياح الشمالية في محطة جدة.
- ٣- تبين أن الرياح اليومية التي لا تتعذر سرعتها القصوى ١٠ م/ثانية هي الأكثر حدوثاً بمنطقة الدراسة بتكرار بلغ ١٠٢٧٢ يوم بمحطة الدمام و ١٠٠٦٢ يوم بمحطة الوجه و ٩٧١٨ يوم بمحطة ينبع و ١٣٩٩٨ يوم بمحطة جدة.
- ٤- أظهرت نتائج مقارنة سرعة الرياح اليومية القصوى بين المحطات أن هناك اختلاف بين معدلات سرعة الرياح بمنطقة الدراسة عدا محطة جده وأن سرعة الرياح اليومية القصوى ذات اتجاه متناقض بكل المحطات عدا محطة ينبع. كما جميع الاتجاهات ذات قيم انحدار بسيطة تراوحت قيمها بين ٠.٠٨٧ و ٠.٠٤١ بمحطة الوجه.
- ٥- أظهرت نتائج فحص السرعة اليومية القصوى للرياح وجود اختلاف حقيقي بين توزيع تكرار السرعة القصوى للرياح والتوزيع الطبيعي بمحطتي جده والدمام، وأن توزيع تكرار السرعة القصوى للرياح بمحطتي ينبع والوجه يتبع التوزيع الطبيعي.
- ٦- من خلال نتائج اختبار Levene Statistic [التجانس] توزيع السرعة اليومية القصوى تبين وجود تباين في توزيع تكرار السرعة القصوى للرياح بمحطتي الدمام وجده وهناك تجانس في توزيع تكرار السرعة القصوى للرياح بمحطتي ينبع والوجه.
- ٧- دل فحص مقارنة السرعة اليومية القصوى للرياح بين المحطات أن مستوى الدلالة أقل من مستوى الدلالة ٠.٠٥ بين جميع المحطات، عدا محطة الوجه من جهة Sig.

تكرار واتجاه تغير سرعة الرياح اليومية القصوى... د. مطيره المطيري

ومحطي ينبع وجده من جهة ثانية وهي تؤكد عدم وجود اختلاف بين السرعة القصوى للرياح في المحطات المدروسة عدا محطة الوجه.

٨- تبين أن السرعة اليومية القصوى للرياح ذات اتجاه متناقض بكل المحطات عدا محطة ينبع، وأن جميع الاتجاهات ذات قيم انحدار سالبة بسيطة تراوحت قيمها بين ٢١٠-٠٦٠ بمحطة جده و ٠٦٠-٠٣٠ بمحطة الدمام. كما أن الفروق بين المتوسطين النصفيين الحاصلة ذات دلالة إحصائية هامة لأن احتمالية حدوثها تزيد عن ٩٥%.

المراجع

١- المراجع العربية

- إبراهيم، بهجت (٢٠٠٨)؛ دراسة بعض خصائص الرياح والأمواج البحرية على شاطئ مدينة طرطوس (سوريا)، مجلة جامعة تشرين للبحوث والدراسات العلمية، سلسلة العلوم الأساسية، المجلد (٣٠)، العدد ٣: ٢١-٩.
- زيتون، محمد عبد الكري姆؛ شحادة، نعمان عابد (٢٠١٥)؛ مؤشرات التغير المناخي في شمال الأردن، مجلة دراسات (العلوم الإنسانية والاجتماعية)، المجلد (٤٢)، ملحق ٢: ١٤٦٧-١٤٨٦.
- عبد، حسين فاضل (٢٠١١)؛ تكرارات الرياح وعلاقتها بالغطاء الغيمين في العراق، مجلة كلية التربية، المجلد (١)، العدد ٩، جامعة واسط، ص ص ٤٠١-٤٣١.
- الغشيان، هيفاء عبدالله، (١٤٢٤)؛ الخصائص المناخية لغرب المملكة العربية السعودية، رسالة دكتوراه غير منشورة، قسم الجغرافيا، كلية الآداب، جامعة الملك سعود، الرياض.
- البناء، شهاب أحمد؛ عبد الله، حسين حامد (٢٠١٢)؛ دراسة عن الرياح في القرآن الكريم وسبل تخفيف آثارها، وقائع المؤتمر الأول للعواصف الترابية وتأثيراتها البيئية: الأسباب والمعالجات، كلية العلوم، جامعة بغداد، ١٨-١٧ تشنين الأول (٤)، ص ص ١٧٨-١٨١.
- المطيري، مطيرة (٢٠١٧م)؛ امكانية استغلال طاقة الرياح في انتاج الطاقة الكهربائية بمنطقة الحدود الشمالية بالمملكة العربية السعودية دراسة في المناخ التطبيقي، بحث منشور إلكتروني، مجلة جامعة الملك خالد للعلوم الإنسانية، العدد الاول، المجلد السادس والعشرين.
- ، مطيرة (٢٠١٢م)؛ تكرار الرياح والعواصف الغبارية بمدينة حائل في المملكة العربية السعودية دراسة مناخية تحليلية، كلية التربية، جامعة عين شمس، جمهورية مصر، المجلد الثامن عشر العدد الثالث.
- المركز الوطني للأرصاد والبيئة (٢٠١٨)؛ البيانات اليومية المناخية لمحطات الدمام والوجه ونجد وينبع، الرئاسة العامة للأرصاد وحماية البيئة، وزارة الدفاع والطيران، جده، المملكة العربية السعودية.
- الهيئة العامة للإحصاء (٢٠١٦) : مؤشرات الطاقة المتتجدة في المملكة العربية السعودية ، إحصاءات الطاقة المتتجدة ٢٠١٦ .

٢- المراجع الأجنبية

- Azorin-Molina, C. ; Rahman. S. ; Guijarro, J.A. ; McVicar, T.R. ; Milona, L. ; Chen, D. and Vicente-Serrano, S.M. (2018) : Recent trends in wind speed across Saudi Arabia, 1978–2013: a

- break in the stilling, *International Journal of Climatology*, 38 (Suppl. 1) : e966-e984, DOI: 10.1002/joc.5432.
- Crowe , P. R. (1971) : Concepts in climatology , Grou Ltd , London , pp. 589.
 - Gregory , S. (1970) : Statistical methods and Geographer , Longman Grou. Ltd., London, pp. 277.
 - Oliver , J. E. (1981) : Climatology selected applications , Edward Arnold , V. H. Wiston and Sons , pp 260.
 - Pryor, S.C. ; Barthelmi, R.J. ; Young, D.T. ; Takli, E.S. and Arritt, R.W. (2009) : Wind speed trends over the contiguous United States, *Journal of Geophysical Research*, Vol. (114), DI4105, doi:10.1029/2008JD011416.
 - Torralba, V. ; Dobas-Reyes, F.J. and Gonzalez-Reviriego, N. (2017) : Uncertainty in recent near-surface wind speed trends: A global reanalysis inter comparison, *Environmental Research Letters*, 12(2017) 114019: 1-9, <https://doi.org/10.1088/1748-9326/aa8a58>.
 - Wu, J. ; Zha, J. ; Zhao, D. and Yang, Q. (2018) : Changes in terrestrial near-surface wind speed and their possible causes: An overview, *Climate Dynamic*(2018) 51 : 2039-2078, DOI 10.1007/s00382-017-3997-y.
 - Young, I.R. ; Zieger, S. and Babanin, A.V. (2011) : Global Trends in Wind Speed and Wave Height, *Science*, Vol. (332) : 451-455, DOI:10.1126/science.1197219.